

I-219 塔の変形を考慮した多径間吊橋の構造特性について

北海道大学工学部 正員 渡辺 昇
北海道大学工学部 正員 ○佐藤浩一

1. まえがき

さきに発表した報告(文献1)は多径間吊橋の塔頂がローラー結合(図-1(a))の場合の理論式であり、(文献2)は塔頂がヒンジ結合(図-1(b))の場合の理論式である。(文献2)では、ローラー結合とヒンジ結合、挠度理論と弾性理論、補剛性の連続支持と単純支持などの相互関係を考察しながら、塔の曲げ剛性を考慮した場合の多径間吊橋の理論式を説明したが、実際の吊橋では、死荷重により塔頂に圧縮力が作用しているので、本報告では、図-2のように、圧縮力(N)の方向が塔が沈んでしまわないとして、塔の変形を考慮した場合の理論式を説明し、ローラー結合、ヒンジ結合($N=0$)の場合と比較検討しきめた。

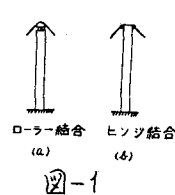
2. 吊橋の微分方程式 (挠度理論の場合)

一般に、吊橋の微分方程式は次の通りである。

2-1. ローラー結合の場合の微分方程式 (塔の曲げ剛性を無視)

$$EI_j \ddot{v}(x_j) - H \dot{v}''(x_j) = p(x) + H_{pj} y_j'' \quad \cdots \cdots (1)$$

$$H_p \frac{\frac{L_c}{E_c A_c} + y_j''}{\int_{h_j-1}^{h_j}} v(x) dx = 0 \quad \text{または} \quad H_p \frac{\frac{L_c}{E_c A_c} + \sum_{j=1}^n y_j''}{\int_{h_j-1}^{h_j}} v(x_j) dx_j = 0 \quad \cdots \cdots (2)$$



2-2. ヒンジ結合の場合の微分方程式 (塔の曲げ剛性を考慮、塔の変形を無視)

$$EI_j \ddot{v}(x_j) - H \dot{v}''(x_j) = p(x) + H_{pj} y_j'' \quad \cdots \cdots (3)$$

$$H_p \frac{\frac{L_c}{E_c A_c} + y_j''}{\int_{h_j-1}^{h_j}} v(x_j) dx_j = (H_{pj-1} - H_{pj}) \cdot G_T(h_j, h_j, 0) + (H_{pj+1} - H_{pj}) \cdot G_T(h_j, h_j+1, 0) \quad \cdots \cdots (4)$$

2-3. ヒンジ結合の場合の微分方程式 (塔の曲げ剛性を考慮、塔の変形を考慮)

$$EI_j \ddot{v}(x_j) - H \dot{v}''(x_j) = p(x) + H_{pj} y_j'' \quad \cdots \cdots (5)$$

$$H_p \frac{\frac{L_c}{E_c A_c} + y_j''}{\int_{h_j-1}^{h_j}} v(x_j) dx_j = (H_{pj-1} - H_{pj}) \cdot G_T(h_j, h_j, N_j) + (H_{pj+1} - H_{pj}) \cdot G_T(h_j, h_j+1, N_{j+1}) \quad \cdots \cdots (6)$$

ここで、 $G_T(\alpha, \beta, N)$ は、図-3のように、片持梁の自由端において、圧縮力 N が垂直方向に作用している時、水平方向に1を作用させた時の片持梁のGreen関数であり、次の様に定義する。

$$G_T(\alpha, \beta, N) = \begin{cases} \frac{h}{N} \left\{ \frac{\sin k(h-\beta) \cdot \cos k\alpha - \sin k(h-\alpha) \cdot \sin k(h-\beta) + \sin kh}{kh \cdot \cos kh} - \frac{\alpha}{h} \right\} & \alpha \leq \beta \\ \frac{h}{N} \left\{ \frac{\sin k(h-\alpha) \cdot \cos k\beta - \sin k(h-\beta) \cdot \sin k(h-\alpha) + \sin kh}{kh \cdot \cos kh} - \frac{\beta}{h} \right\} & \alpha \geq \beta \end{cases} \quad \cdots \cdots (7)$$

また、

$$\lim_{N \rightarrow 0} G_T(\alpha, \beta, 0) = \begin{cases} \frac{1}{6EI_x} (3\alpha^2\beta - \alpha^3) & \alpha \leq \beta \\ \frac{1}{6EI_x} (3\alpha\beta^2 - \beta^3) & \alpha \geq \beta \end{cases} \quad \cdots \cdots (8)$$

であるから、式(4)は式(6)の特別の場合であることがわかる。

本報告で用いる記号は次の様なものである。

EI_z : 補剛桁の曲げ剛性(t/m^3)； E_c : ケーブル弦のヤング率(N/m^2)； A_c : ケーブル弦の断面積(m^2)；
 I_{zj} : 塔の断面二次モーメント(m^4)； $p(x)$: 活荷重(N/m)； P : 集中荷重(t)； H : ケーブルの水平張力(t)；
 H_g : 死荷重 g によるケーブルの水平張力(t)； H_p : 活荷重によるケーブルの水平張力(t) = $H - H_g$ ；
 $R = l^2/8f(m)$ ； $y'' = -1/R(1/m)$ ； f : ケーブルの垂下曲線 $y(x)$ のサグ(m)； θ : 水平方向に対するケーブルの傾斜角(ラジアン)； l : 補剛桁の支間長(m)； $\mu = \sqrt{H/EI}(1/m)$ ； $\rho(x)$: 活荷重による補剛桁の鉛直方向のたわみ(m)； y : 活荷重無載荷におけるケーブルの垂下曲線の座標(m)； x : 着目点の位置の座標(m)； ξ : 集中荷重 P の作用点の座標(m)； h : 塔の高さ(m)； N_g : 塔頂に作用する圧縮力(t)；
 $k = \sqrt{EI_z}(1/m)$ ； $\angle_{cj} = \int_{y_j}^{y_0} \frac{dx}{\cos^3 y_j}$ ； $\angle_c = \sum_{j=1}^n \angle_{cj}$ (m)； $N = N_g + N_p(t)$

式(1)と式(2), 式(3)と式(4), 式(5)と式(6)を互に関連させながら, H_p を求め, ρ を求めるのであるが,
 ここでは $H = \text{一定}$ として解いく。式(1)～式(4)に関しては,(文献1),(文献2)参照。

なお, 補剛桁を基本系にとれば, ローラー結合の場合は一次不静定構造物であり, ヒンジ結合の場合
 は二次不静定構造物である。

3. 塔の変形を考慮した多径間吊橋の理論式と解析法

図-4のような多径間吊橋を解析する。図-5は塔とケーブル類を省略した
 ため径間連続である(図-4の略図である)。支点につける番号は
 n 径間連続吊橋の補剛桁の支点番号と同時に塔の番号を示している。
 従って, 1番と $n+1$ 番の塔は零となる。

最初に, n 径間連続桁を解析する。周知のように, 図-5の中間支点
 $(2, 3, \dots, n)$ を切断し, 不静定曲げモーメント $X_j(\xi_j)$ ($j=2, 3, \dots, n$)
 を導入し, $(n-1)$ 元の仕事連立方程式を解けば,
 $X_j''(\xi_j)$ ($j=2, 3, \dots, n$)は求まる。ミニマム, $X_1''(\xi_1) = X_{n+1}''(\xi_n) = 0$
 とし, $X_j''(\xi_j)$ ($j=1, 2, \dots, n+1$; $i=1, 2, \dots, n$) ……(9)
 すなわち, 連続桁の不静定力を式(9)で表示する。

次に, 第*i*スパンの y_i の等分荷重による第*j*番目の
 支点モーメントは, 式(9)を用いて, 式(10)となる。

$$\Delta M_j = -\frac{1}{R_i} \int_{l_{j-1}}^{l_j} X_j(\xi_j) d\xi_j \quad \dots \dots (10)$$

なお, 式(9)と式(10)に関する詳しい説明は(文献2)を参照。

式(9)と式(10)を説明しておき, 次に, 式(5)を解けば,

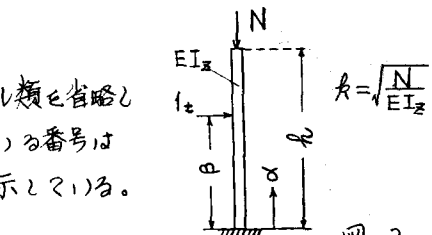


図-3

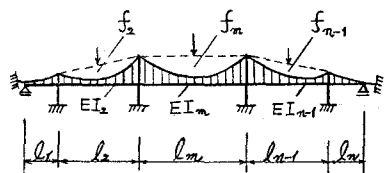


図-4

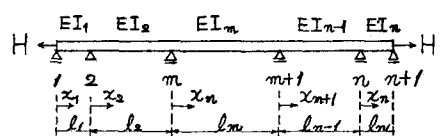


図-5

$$\begin{aligned} \Delta M_j &= Y_0(x_j, \xi_j) + X_j(\xi_j) \cdot \frac{1}{H_j} \cdot \left\{ 1 - \frac{x_j}{l_j} - \frac{\sinh \mu_j (l_j - x_j)}{\sinh \mu_j l_j} \right\} + X_{j+1}(\xi_j) \frac{1}{H_j} \cdot \left\{ \frac{x_j}{l_j} - \frac{\sinh \mu_j x_j}{\sinh \mu_j l_j} \right\} \\ &\quad - H_{pj}(\xi_j) \frac{l_j^2}{H_j R_j} \cdot \left[\frac{1}{2} \left\{ \frac{x_j}{l_j} - \left(\frac{x_j}{l_j} \right)^2 \right\} - \frac{1}{(\mu_j l_j)^2} \cdot \left\{ 1 - \frac{\cosh \mu_j (l_j - x_j)}{\cosh \mu_j l_j} \right\} \right] \\ &\quad + \sum_{k=1}^n H_{pk}(\xi_j) \cdot M_k \cdot \left\{ 1 - \frac{x_j}{l_j} - \frac{\sinh \mu_j (l_j - x_j)}{\sinh \mu_j l_j} \right\} \cdot \frac{1}{H_j} \\ &\quad + \sum_{k=1}^n H_{pk}(\xi_j) \cdot M_{j+1} \cdot \left\{ \frac{x_j}{l_j} - \frac{\sinh \mu_j x_j}{\sinh \mu_j l_j} \right\} \cdot \frac{1}{H_j} \end{aligned} \quad \dots \dots (11)$$

しかししながら、式(11)の中で、 $H_{p1}(\xi_i)$ はまだ未知数である。次に、式(11)を式(6)に代入すれば、 n 径間連続吊橋の場合のケーブルの水平張力 $H_{p1}, H_{p2}, \dots, H_{pn}$ に関して、次のような元の仕事連立方程式を得る。

$$\begin{pmatrix} \delta_{11} & \delta_{12} & \cdots & \delta_{1n} \\ \delta_{21} & \ddots & & \\ \vdots & & \ddots & \\ \delta_{n1} & \cdots & \cdots & \delta_{nn} \end{pmatrix} \begin{pmatrix} H_{p1} \\ H_{p2} \\ \vdots \\ H_{pn} \end{pmatrix} = - \begin{pmatrix} f_{10} \\ f_{20} \\ \vdots \\ f_{n0} \end{pmatrix} \quad \text{--- (12)}$$

$$\text{ここで, } \delta_{21} = \frac{EI_m}{l_m E_a A_c} \cdot \frac{l_{c1}}{l_m} \cdot \frac{R_m}{l_m} \cdot \frac{(l_m l_m)^2}{l_m} + \frac{H_m}{H_i} \cdot \frac{R_m}{R_i} \cdot \frac{(l_i)}{l_m} \cdot 8 \cdot \frac{f_i}{l_i} \cdot \left\{ \frac{1}{l_2} - \frac{1}{(l_i l_i)^2} \left(1 - \frac{\tanh \frac{M_i l_i}{2}}{\frac{M_i l_i}{2}} \right) \right\}$$

$$- \frac{H_m}{H_i} \cdot \frac{R_m}{R_i} \cdot \frac{l_i}{l_m} \cdot \frac{1}{2 l_m} \cdot \left(1 - \frac{\tanh \frac{M_i l_i}{2}}{\frac{M_i l_i}{2}} \right) \cdot \{ i M_2 + i M_{i+1} \} \quad \text{--- (13)}$$

$$+ \{ G_T(h_i, h_i, N_i) + G_T(h_{i+1}, h_{i+1}, N_{i+1}) \} \frac{H_m}{1} \cdot \frac{R_m}{l_m^2} \quad \text{ただし, } i=1, 2, \dots, n$$

$$\delta_{2+i+1} = - \frac{H_m}{H_i} \cdot \frac{R_m}{R_i} \cdot \frac{l_i}{l_m} \cdot \frac{1}{2 l_m} \cdot \left(1 - \frac{\tanh \frac{M_i l_i}{2}}{\frac{M_i l_i}{2}} \right) \cdot \{ i M_2 + i M_{i+1} \} \quad \text{--- (14)}$$

$$- G_T(h_{i+1}, h_{i+1}, N_{i+1}) \cdot \frac{H_m}{1} \cdot \frac{R_m}{l_m^2} \quad \text{ただし, } i=1, 2, \dots, n-1$$

$$\delta_{2+i+2} = \delta_{2+i+1} \quad \text{ただし, } i=1, 2, \dots, n-1 \quad \text{--- (15)}$$

$$\delta_{j+2} = - \frac{H_m}{H_i} \cdot \frac{R_m}{R_i} \cdot \frac{l_i}{l_m} \cdot \frac{1}{2 l_m} \cdot \left(1 - \frac{\tanh \frac{M_i l_i}{2}}{\frac{M_i l_i}{2}} \right) \cdot \{ j M_i + j M_{i+1} \} \quad \text{--- (16)}$$

ただし, $i=1, 2, \dots, n$; $j=1, 2, \dots, n$; $i \neq j-1$; $i \neq j$; $i \neq j+1$

また, $-f_{20}(\xi_i)$ 曲線は次のようになる。

$$-f_{20}(\xi_j) = \frac{H_m}{H_i} \cdot \frac{R_m}{R_i} \cdot \frac{(l_i)}{l_m} \cdot \left[\frac{1}{2} \left\{ \frac{\xi_i}{l_i} - \left(\frac{\xi_j}{l_j} \right)^2 \right\} - \frac{1}{(l_i l_i)^2} \left\{ 1 - \frac{\cosh M_i \frac{(l_i)}{2} - \xi_i}{\cosh \frac{M_i l_i}{2}} \right\} \right] + \frac{1}{l_m} \cdot \frac{H_m}{H_i} \cdot \frac{R_m}{R_i} \cdot \frac{l_i}{l_m} \cdot \frac{1}{2} \cdot \left(1 - \frac{\tanh \frac{M_i l_i}{2}}{\frac{M_i l_i}{2}} \right) \cdot \{ X_i(\xi_j) + X_{i+1}(\xi_j) \} \quad \text{--- (17)}$$

式(13)～式(17)までを式(12)に代入すれば、 $H_{p1}(\xi_i)$ が求まる。また、式(12)～式(17)までは(文献2)の解法のように、ケーブルを切断して得ることができる(文献2参照)。

曲げモーメント、剪断力に関しては、式(11)の2回微分、3回微分によつて求まる。

$$M(x_j, \xi_i) = -EI_j \cdot \nu''(x_j, \xi_i); Q(x_j, \xi_i) = -EI_j \cdot \nu'''(x_j, \xi_i) \quad \text{--- (18)}$$

4. 数値計算例

数値計算例としては、現在、計画中の本州四国連絡橋を例にとってみた。断面諸元は次の通りである。 $l_1=500m, l_2=1250m, l_3=1500m, l_4=1250m, l_5=500m, f_1=15.152m, f_2=94.697m, f_3=136.364m, f_4=94.697m, f_5=15.152m, I_1=2.151m^4, I_2=2.37m^4, I_3=2.543m^4, I_4=2.37m^4, I_5=2.151m^4, E=2.1 \times 10^7 \text{ t/m}^2, E_a=2.0 \times 10^7 \text{ t/m}^2, A_c=0.72594 \text{ m}^2, H_g=32794 \text{ t}, I_{22}=2.37m^4, I_{23}=17.801m^4, I_{24}=17.801m^4, I_{25}=2.37m^4, h_2=79.9m, h_3=190.42m, h_4=190.42m, h_5=79.9m, N_{g2}=17888t, N_{g3}=21863t, N_{g4}=21863t, N_{g5}=17888t$

図-6は、集中荷重 $P=1t$ が中央径間中央点に作用した時の中間中央点のたわみの値を示したものである。横軸に H_g を対数目盛りとり、縦軸はたわみの値を算術目盛りとある。破綻はローラー結合の場合であり、実線はヒンジ結合の場合である。図-6よりわかることは $H_g \rightarrow 0$ の時は弾性理論であり、 $H_g=32794t$ の時は塑性理論である(文献2)参照。弾性理論ではローラー結合とヒンジ結合とで

は非常に差があることがわかる。挠度理論ではローラー結合とヒンジ結合と塔の変形を考慮した場合、三者にはほとんど差がないことがわかる。なお、今は、 $K=7$ の場合であるが、 K を大きくすれば、 $K=\infty$ の場合の線に限りなく近づく。

図-7は、図-6と同様に、中央径間中央点の曲げモーメントの値であるが、たわみの場合と傾向は全く同じである。図-8は、集中荷重 $P=1t$ を第2径間中央点に作用させた時の第3塔の塔頂のたわみである。図-8より、塔の変形を考慮しても、挠度理論ではほとんど差がなくなることがわかる。

5. あとがき

本報告では、塔の変形を考慮した場合の一般式を誘導し、五径間吊橋を例にとって数値計算をした結果、中央径間が 1500m ぐらの多径間吊橋では塔の変形を考慮しても構造特性にはほとんど影響を及ぼさない。

参考文献

- 1) 渡辺界、佐藤浩一：「多径間吊橋の弾性理論と挠度理論との比較について」 第24回年次学術講演会
- 2) 佐藤浩一：「多径間吊橋の塔の曲げ剛性が断面力特性に及ぼす影響について」 土木学会北海道支部研究発表論文集 昭和44年度 1970年2月
- 3) 渡辺界、佐藤浩一、川瀬健夫：「多径間吊橋の静力学的解析法についての2,3の考察」 第25回年次学術講演会

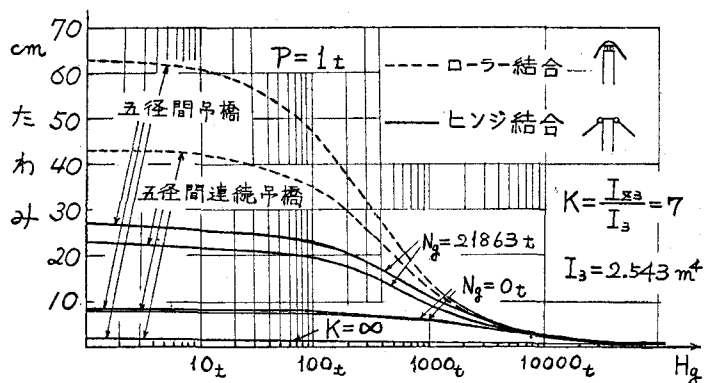


図-6 中央径間中央点のたわみの値

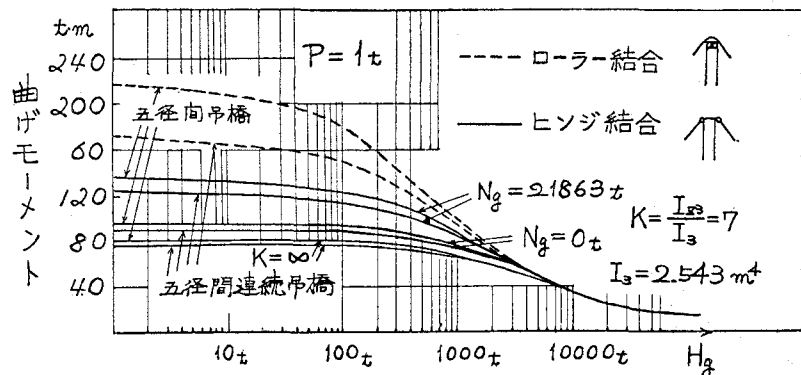


図-7 中央径間中央点の曲げモーメントの値

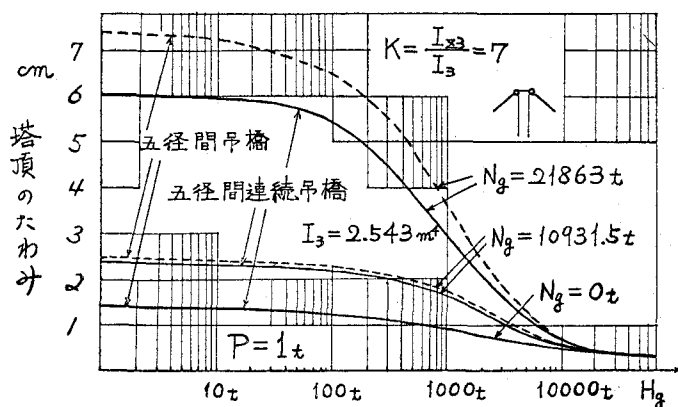


図-8 第3塔の塔頂のたわみの値